

وزارت علوم، تحقیقات و فناوری  
دانشگاه تحصیلات تکمیلی علوم پایه  
گاوزنگ - زنجان



# بررسی برهم کنش اکتینومايسين D با DNA چهاررشته‌ای غنی از گوانین توسط روش‌های آزمایشگاهی و مدل‌سازی مولکولی

پایان‌نامه کارشناسی ارشد

ژیلا نیک‌نژاد

اساتید راهنما: دکتر لیلا حسنی

دکتر داوود نوروزی

بهمن ۱۳۹۲

صلاة الاضلاع

تقدیم به

پدر و مادر عزیز و مهربانم

به خاطر زحمات بی دریغشان

و

برادر و خواهر عزیزم

که وجودشان مایه آرامش من است.

سپاس خدایی که آفرید جهان را، انسان را، عقل را، علم را، معرفت را، عشق را.

از پدر و مادر عزیزم به خاطر همه‌ی تلاش‌های محبت آمیزی که در تمامی دوران زندگی‌ام انجام داده‌اند، تشکر می‌کنم.

با سپاس فراوان از راهنمائی‌ها و زحمات استاد محترم و گرانقدر دکتر لیلا حسنی که از ابتدای راه و در طی انجام این پروژه، با راهنمائی‌های خود مرا در نگارش آن یاری نمودند و همچنین قدردانی و تقدیر از استاد محترم، دکتر داوود نوروزی که با راهنمائی‌شان، یاری‌ام نمودند.

از دکتر سعید عمادی، دکتر جعفریان و دکتر هادی، اساتید محترم داور و همچنین از دکتر ملازاده و محمدی‌نژاد بخاطر راهنمائی‌شان کمال تشکر را دارم.

و در پایان از دوستان عزیزم و سایر کسانی که در تدوین این پروژه مرا یاری نمودند، متشکرم.

## چکیده

ژن *c-Myc* نقش مهمی در تنظیم رشد و تکثیر سلولی ایفا می‌کند و بیان بیش از حد این ژن در گستره وسیعی از سرطان‌های انسانی دیده شده است. حدود ۹۰٪ رونویسی ژن *c-Myc* از طریق یک توالی ۲۷ نوکلئوتیدی غنی از گوانین بسیار حساس به نوکلئاز بنام *nuclease-hypersensitive element III (NHE III)* کنترل می‌شود که این توالی قادر به تشکیل ساختار *G-quadruplex* تحت شرایط فیزیولوژیک است. بنابراین *DNA* ژن *c-Myc* یک هدف مناسب برای طراحی دارو به خصوص برای شیمی درمانی سرطان محسوب می‌شود. در این مطالعه، میان‌کنش اکتینومايسين D (*ActD*) با ساختار چهاررشته‌ای با روش دینامیک مولکولی مطالعه شده است. همچنین برهم‌کنش این دارو با رشته ۲۷ نوکلئوتیدی غنی از گوانین (*G/c-Myc*) و مخلوط این توالی با توالی مکمل خود با غلظت مولی یکسان (*GC/c-Myc*) بعلاوه الیگونوکلئوتید غنی از سیتوزین مکمل این توالی (*C/c-Myc*) با روش‌های طیف‌سنجی بررسی شده است. نتایج دینامیک مولکولی نشان داد که اتصال *ActD* به چهاررشته‌ای از نوع انباشتگی روی بخش‌های انتهایی است و همچنین شعاع ژیراسیون ساختار چهاررشته‌ای را افزایش داده است. نتایج حاصل از مطالعات دورنگ‌نمایی دورانی برای الیگونوکلئوتیدهای غنی از گوانین و سیتوزین در غلظت ۱۵۰ میلی‌مولار *KCl* و  $\text{pH } 7/2$  طیف‌هایی مطابق با طیف *DNA* چهاررشته‌ای موازی برای *G/c-Myc* و *i-motif* برای *C/c-Myc* نشان داد. همچنین طیف دورنگ‌نمایی دورانی نشان داد ساختار غالب *GC/c-Myc* در حضور یون  $\text{K}^+$  دو رشته‌ای است. بر اساس طیف‌های دورنگ‌نمایی دورانی مشخص شد که *ActD* باعث تغییر نوع ساختار *DNA* نشده و صرفاً فشردگی ساختار آن را تغییر می‌دهد. مطالعات طیف‌بینی فلورسانس نشان داد که نشر *ActD* بعد از اضافه شدن سه نوع *DNA* افزایش پیدا می‌کند که مبین وارد شدن *ActD* به نقاط غیرقطبی می‌باشد. بر طبق طیف‌بینی جذبی نتیجه گرفته شد که احتمالاً نحوه اتصال غالب کمپلکس به *DNA* اتصال خارجی و انباشتگی روی بخش‌های انتهایی است.

**کلمات کلیدی:** اکتینومايسين D, *c-Myc*, *DNA* چهاررشته‌ای، دینامیک مولکولی، طیف‌سنجی، برهم‌کنش

# فهرست

عنوان	شماره صفحه
فهرست مطالب	ب
فهرست شکل‌ها	ج
فهرست جدول‌ها	خ

## فصل اول: مقدمه

۱.۱ DNA	۱
۱.۲ DNA چهاررشته‌ای	۲
۱.۲.۱ نقش یون در چهاررشته‌ای	۳
۲.۲.۱ پایداری چهاررشته‌ای	۳
۳.۲.۱ جهت‌گیری چهاررشته‌ای	۴
۴.۲.۱ تنوع ساختاری چهاررشته‌ای	۶
۵.۲.۱ لوپ‌ها در $G_4$	۷
۶.۲.۱ حضور چهاررشته‌ای در پروموتور	۸
۱.۶.۲.۱ چهاررشته‌ای در c-Myc	۱۰
۲.۶.۲.۱ انواع مختلف چهاررشته‌ای گوانین در پروموتورها	۱۰
۳.۶.۲.۱ نقش چهاررشته‌ای‌های پروموتور در سرطان	۱۲
۷.۲.۱ حضور چهاررشته‌ای در تلومر	۱۳
۸.۲.۱ نقش چهاررشته‌ای در همانندسازی و رونویسی	۱۵
۹.۲.۱ نقش چهاررشته‌ای در نوترکیبی	۱۶
۳.۱ اتصال لیگاند به DNA	۱۷
۱.۳.۱ اتصال لیگاند به چهاررشته‌ای	۱۷

۱۹	۴.۱ motif-i
۱۹	۱.۴.۱ انواع motif-i
۲۱	۵.۱ اکتینومایسین D
۲۱	۱.۵.۱ تاریخچه‌ی مطالعه و کاربرد اکتینومایسین
۲۴	۶.۱ هدف از مطالعه‌ی حاضر
۲۵	۷.۱ روش‌های استفاده شده
۲۵	۱.۷.۱ دینامیک مولکولی
۲۵	۲.۷.۱ طیف‌بینی جذبی مرئی-فرابنفش
۲۶	۳.۷.۱ طیف‌بینی فلورسانس
۲۶	۴.۷.۱ دورنگ‌نمایی دورانی (CD)
<b>فصل دوم: مواد و روش‌ها</b>	
۲۸	۱.۲ مطالعات شبیه‌سازی مولکولی
۲۸	۱.۱.۲ مفاهیم اولیه AMBER
۲۹	۲.۱.۲ مراحل شبیه‌سازی
۳۱	۲.۲ مطالعات تجربی
۳۱	۱.۲.۲ دستگاه‌ها
۳۲	۲.۲.۲ مواد زیستی و شیمیایی
۳۳	۳.۲.۲ روش‌ها
۳۳	۱.۳.۲.۲ تهیه بافر
۳۳	۲.۳.۲.۲ فولد کردن اولیگونوکئوتیدها
۳۴	۳.۳.۲.۲ آماده‌سازی و تعیین غلظت ActD
۳۴	۴.۳.۲.۲ طیف‌بینی جذبی مرئی-فرابنفش
۳۴	۵.۳.۲.۲ طیف‌بینی فلورسانس
۳۵	۶.۳.۲.۲ روش دورنگ‌نمایی دورانی (CD)

## فصل سوم: نتایج

۳۷	۱.۳ نتایج دینامیک مولکولی برهم کنش ActD با DNA چهاررشته‌ای
۳۹	۱.۱.۳ نتایج حاصل از RMSD
۴۰	۲.۱.۳ مکان میان کنش ActD به G <sub>۴</sub>
۴۲	۳.۱.۳ نتایج حاصل از RMSF
۴۴	۴.۱.۳ فاصله‌ی ActD با چهاررشته‌ای
۴۶	۵.۱.۳ نتایج حاصل از شعاع ژیراسیون
۴۷	۲.۳ نتایج بخش تجربی
۴۷	۱.۲.۳ بررسی ساختار DNA با روش دورنگ نمایی دورانی
۵۰	۱.۱.۲.۳ بررسی اثر ActD بر ساختار DNA با روش دورنگ نمایی دورانی
۵۲	۲.۲.۳ نتایج طیف بینی جذبی DNA- ActD
۵۳	۱.۲.۲.۳ طیف جذبی DNA- ActD
۵۳	۲.۲.۲.۳ نتایج طیف جذبی ActD در حضور DNA
۵۷	۳.۲.۲.۳ نمودار اسکاچارد
۶۰	۳.۲.۳ بررسی طیف بینی فلوروسانس
۶۷	۳.۳ نتیجه گیری کلی
۶۹	پیشنهادات
۷۰	پیوست
۷۰	الف. ۱. دینامیک مولکولی
۷۰	الف. ۱.۱. تعریف میدان نیرو
۷۰	الف. ۱.۱.۱ انرژی در میدان نیرو
۷۲	الف. ۲. شبیه سازی با AMBER
۷۲	الف. ۱.۲. فایل های مورد نیاز AMBER
۷۲	الف. ۲.۲. محیط های شبیه سازی
۷۳	الف. ۳.۲. مراحل آماده سازی



۷۳	الف.۱.۳.۲ ساخت فایل های اکتینومایسین D
۷۵	الف.۲.۳.۲ ساخت فایل های کمپلکس ActD و DNA چهاررشته ای
۷۷	الف.۲.۴.۲ کمینه سازی و دینامیک مولکولی
۷۸	الف.۱.۴.۲ ساخت فایل های mdin ورودی
۷۹	الف.۲.۴.۲ شرایط مرزی متناوبی
۸۰	الف.۳.۴.۲ مراحل کمینه سازی
۸۲	الف.۴.۴.۲ اجرا کردن دینامیک مولکولی در explicit
۸۶	الف.۳ آنالیز خروجی
۸۷	مراجع
۹۴	واژه نامه انگلیسی به فارسی

## فهرست شکل ها

۲	شکل ۱-۱: ساختار تشکیل دهنده اسیدهای نوکلئیک چهاررشته ای (تترادهای گوانینی)
۳	شکل ۲-۱: برهم کنش یون با اتم های O <sub>6</sub> گوانین
۶	شکل ۳-۱: چهار ساختار G <sub>۴</sub>
۷	شکل ۴-۱: ساختارهای چهاررشته ای
۸	شکل ۵-۱: انواع حلقه ها ..
۹	شکل ۶-۱: تشکیل G <sub>۴</sub> در پروموتور می تواند سطح و ماهیت رونویسی ژن را تغییر دهد
۱۰	شکل ۷-۱: ساختار پروموتور ژن c-Myc
۱۱	شکل ۸-۱: دسته های متفاوت از چهاررشته ای در پروموتور یوکاریوت ها
۱۳	شکل ۹-۱: شش نشانه از سرطان که با تشکیل شدن چهاررشته ای در ناحیه ی پروموتور ژن ها همراه بوده است
۱۴	شکل ۱۰-۱: انتهای یک کروموزوم خطی
۱۴	شکل ۱۱-۱: توالی غنی از گوانین
۱۶	شکل ۱۲-۱: توقف همانندسازی توسط چهاررشته ای
۱۸	شکل ۱۳-۱: انواع روش های میان کنش بین لیگاند و چهاررشته ای
۱۹	شکل ۱۴-۱: ساختار i-motif

- شکل ۱-۱۵: توالی و الگوی فولد شدن *i-motif* در دو گروه از پروموتور یوکاریوت‌ها. ۲۰
- شکل ۱-۱۶: ساختار *ActD*. ۲۱
- شکل ۱-۱۷: اجزای دایره‌ای راست‌گرد (*R*) و چپ‌گرد (*L*) نور قطبی شده‌ی صفحه‌ای. ۲۷
- شکل ۳-۱: منحنی تغییرات انرژی بر حسب زمان. ۳۷
- شکل ۳-۲: منحنی تغییرات فشار بر حسب زمان می‌باشد. ۳۸
- شکل ۳-۳: منحنی تغییرات دما بر حسب زمان. ۳۸
- شکل ۳-۴: نمودار *RMSD* بر حسب زمان. ۴۰
- شکل ۳-۵: الف-ساختار *ActD* ب-موقعیت گوانین‌ها در چهاررشته‌ای *c-Myc*. ۴۱
- شکل ۳-۶: موقعیت *ActD* نسبت به *DNA* چهاررشته‌ای قبل از شروع شبیه‌سازی و بعد از شبیه‌سازی. ۴۱
- شکل ۳-۷: میان‌کنش *ActD* با نقاط غیرقطبی چهاررشته‌ای. ۴۲
- شکل ۳-۸: نمودار *RMSF* ساختاری اسکلت چهاررشته‌ای در حضور و عدم حضور *ActD*. ۴۳
- شکل ۳-۹: فاصله‌ی بین گروه متیل حلقه‌ی فنوکسازین *ActD* با اتم *N3* گوانین *G22*. ۴۵
- شکل ۳-۱۰: فاصله‌ی بین ترئونین حلقه لاکتونی *ActD* با اتم *N3* گوانین *G18*. ۴۵
- شکل ۳-۱۱: فاصله‌ی بین ترئونین حلقه لاکتونی *ActD* با اتم *N3* گوانین *G13*. ۴۶
- شکل ۳-۱۲: نمودار شعاع ژیراسیون در حضور و عدم حضور *ActD*. ۴۷
- شکل ۳-۱۴: طیف دورنگ‌نمایی دورانی *GC/c-Myc* و *GC/c-Myc* در حضور *ActD*. ۵۱
- شکل ۳-۱۵: طیف دورنگ‌نمایی دورانی *G/c-c-Myc* و *G/c-Myc* در حضور *ActD*. ۵۱
- شکل ۳-۱۶: طیف دورنگ‌نمایی دورانی *C/c-Myc* و *C/c-Myc* در حضور *ActD*. ۵۲
- شکل ۳-۱۷: طیف جذبی *ActD* با غلظت ۲۰ میکرومولار. ۵۳
- شکل ۳-۱۸: طیف جذبی تیتراسیون *ActD* با غلظت اولیه ۲۰ میکرومولار با دو رشته‌ای *GC/c-Myc*. ۵۴
- شکل ۳-۱۹: طیف جذبی تیتراسیون *ActD* با غلظت اولیه ۲۰ میکرومولار با دو رشته‌ای *G/c-Myc*. ۵۴
- شکل ۳-۲۰: طیف جذبی تیتراسیون *ActD* با غلظت اولیه ۲۰ میکرومولار با دو رشته‌ای *C/c-Myc*. ۵۵
- شکل ۳-۲۱: نمودار اسکاچارد مربوط به *ActD* با *GC/c-c-Myc*. ۵۸
- شکل ۳-۲۲: نمودار اسکاچارد مربوط به *ActD* با *G/c-c-Myc*. ۵۸
- شکل ۳-۲۳: نمودار اسکاچارد مربوط به *ActD* با *C/c-c-Myc*. ۵۹
- شکل ۳-۲۴: طیف نشری تیتراسیون *ActD* با غلظت اولیه ۲ میکرومولار، با *GC/c-c-Myc*. ۶۰
- شکل ۳-۲۵: طیف نشری تیتراسیون *ActD* با غلظت اولیه ۲ میکرومولار، با *G/c-c-Myc*. ۶۱
- شکل ۳-۲۶: طیف نشری تیتراسیون *ActD* با غلظت اولیه ۲ میکرومولار، با *C/c-c-Myc*. ۶۱

- شکل ۳-۲۷ شدت نشر در ActD در طول موج ۴۷۰ nm بر اثر افزایش میزان GC/c-Myc، C/c-  
 ۶۲ .....G/c-Myc و Myc
- شکل ۳-۲۸: نمودار double reciprocal اکتینومايسين D با GC/c-Myc، G/c-Myc و C/c-c-Myc.  
 ۶۵
- شکل الف.۱: شرایط مرزی متناوب .....  
 ۸۰

## فهرست جدول‌ها

- جدول ۲-۱: لیست دستگاه‌ها .....  
 ۳۱
- جدول ۲-۲: لیست مواد آزمایشگاهی .....  
 ۳۲
- جدول ۳-۱: درصد‌های هایپوکرومیسیتی و مقادیر شیفت قرمز مشاهده شده طیف‌های جذبی مرئی-  
 ۵۷ .....  
 فرابنفش ActD در حضور GC/c-Myc، C/c-Myc و G/c-Myc
- جدول ۳-۲: درصد‌های افزایش نشر و مقادیر شیفت آبی مشاهده شده در طیف‌های جذبی مرئی  
 ۶۳ .....  
 فرابنفش ActD در حضور GC/c-Myc، C/c-Myc و G/c-Myc
- جدول ۳-۳: ثابت اتصال طیف فلوروسانس ActD با GC/c-Myc، C/c-Myc و G/c-Myc ....  
 ۶۶

# فصل اول

## مقدمه

در تحقیق حاضر میان‌کنش اکتینومایسین<sup>1</sup> D با DNA چهاررشته‌ای توسط روش‌های طیف بینی و مدل-سازی بررسی شده است. در فصل مقدمه توضیحاتی در مورد ساختار DNA چهاررشته‌ای و اهمیت زیستی آن و همچنین اکتینومایسین D ارائه شده است. علاوه بر این بخشی از مقدمه به توضیح در مورد روش‌های استفاده شده در این تحقیق اختصاص یافته است.

### ۱.۱ DNA

دزوکسی‌ریبونوکلئیک‌اسید<sup>1</sup> DNA یک پلی‌مر بلند متشکل از واحدهای تکراری نوکلئوتید است که هر نوکلئوتید شامل یک قند ۵ کربنه به نام ۲-داکسی‌ریبوز<sup>۲</sup>، باز و گروه فسفات است [۱، ۲]. همان‌طور که ابتدا توسط واتسون و کریک کشف شد، ساختار DNA همه‌ی گونه‌ها از دو زنجیره‌ی مارپیچی تشکیل شده که اطراف یک محور پیچیده شده‌اند [۲-۳]. بعد از این‌که واتسون و کریک مدل دو رشته‌ای مارپیچی را پیشنهاد کردند، تحقیقات گسترده‌تری برای تعیین تصویر کامل‌تری از ساختار DNA درون سلول انجام شد. بخش زیادی از DNA بصورت دو رشته‌ای مارپیچی نوع B است که بین دو باز مکمل زنجیره‌ها، مدل واتسون-کریک برقرار است؛ اما دو رشته‌ای DNA بصورت گذرا و ناپایدار توانایی تشکیل ساختارهای ثانویه DNA به غیر از فرم B شامل DNA چپ‌گرد (Z-DNA)، تریپلکس (HDNA)، DNA صلیبی شکل، چهاررشته‌ای<sup>۳</sup> و i-motif<sup>۴</sup> دارند. پلی‌مورفیسم ساختارهای

---

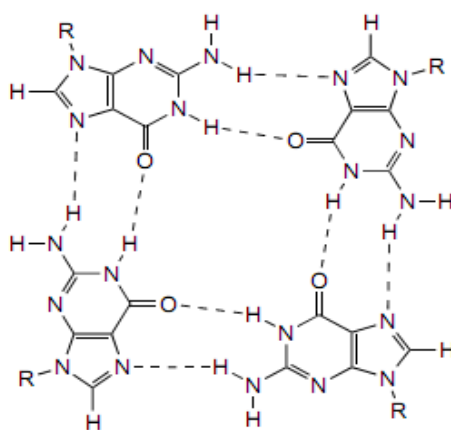
<sup>1</sup> Actinomycin D

DNA توسط توالی DNA، توپولوژی به خاطر سوپرکویل DNA، یونها، پروتئین‌های متصل شونده به DNA و غیره تعیین می‌شود [۵].

## ۲.۱ DNA چهاررشته‌ای

چهاررشته‌ای ساختار ثانویه DNA است که شامل چندین تتراد گوانین انباشته شده روی هم می‌باشد. پیوند هیدروژنی هوگستین<sup>۴</sup> بین N<sub>2</sub> و N<sub>7</sub> و همچنین O<sub>6</sub> و N<sub>1</sub> بازهای گوانین برقرار می‌شود که چهار گوانین را به هم متصل می‌کند تا تشکیل صفحه G- تتراد دهد (شکل ۱-۱) [۴]. درگیر شدن N<sub>7</sub> از گوانین در جفت بازهای هوگستین صفحه‌ی تتراد گوانینی، جایگاه را از تغییرات شیمیایی نظیر متیلاسیون توسط دی متیل سولفات محافظت می‌کند [۵-۶].

توالی‌هایی که به صورت d(GGG....GGG....GGG....GGG....GGG) هستند، پتانسیل تشکیل ساختار چهاررشته‌ای دارند. منظور از .... حلقه‌هایی با طول ۱-۷ است. حلقه‌های کوچک از نظر دمایی پایدارتر از حلقه‌های بزرگ‌تر هستند. چهاررشته‌ای برخلاف DNA دورشته‌ای که دارای دو شیار بزرگ و کوچک است، چهار شیار دارد که اندازه آنها به هندسه‌ی G<sub>4</sub> و نوع شیارها بستگی دارد [۵-۶].



شکل ۱-۱: ساختار تشکیل دهنده‌ی اسیدهای نوکلئیک چهاررشته‌ای (تترادهای گوانینی) [۶].

<sup>1</sup> Deoxyribonucleic acid

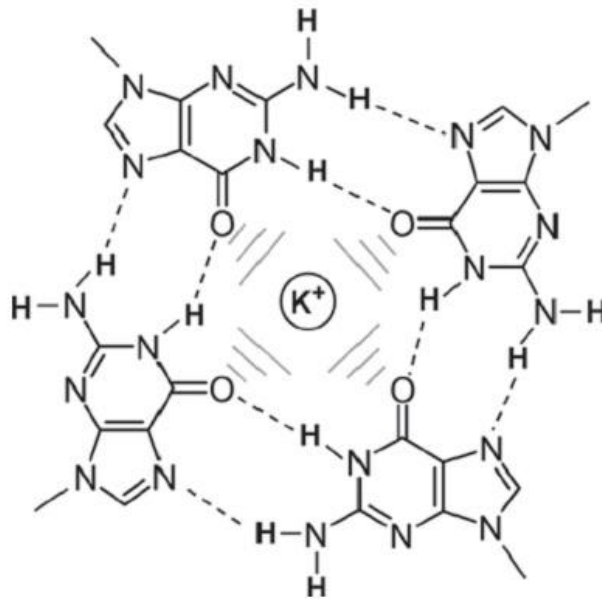
<sup>2</sup> 2-Deoxyribose

<sup>3</sup> G-quadruplex

<sup>4</sup> Hoogsteen hydrogen bond

### ۱.۲.۱ نقش یون در چهاررشته‌ای

تشکیل چهاررشته‌ای نیاز به کاتیون تک ظرفیتی<sup>۱</sup> دارد که به طور اختصاصی تر با  $K^+$  و با میزان کمتر با  $Na^+$  و  $NH_4^+$  پایدار می‌شود. این یون‌ها با جفت‌های آزاد اتم‌های  $O_6$  گوانین در هسته‌ی مرکزی برهم‌کنش الکترواستاتیک برقرار می‌کنند (شکل ۱-۲) [۶-۷].



شکل ۱-۲: برهم‌کنش یون با اتم‌های  $O_6$  گوانین [۸].

### ۲.۲.۱ پایداری چهاررشته‌ای

در DNA دوررشته‌ای، بازهای آدنین با تیمین و سیتوزین با گوانین به ترتیب توسط دو و سه پیوند هیدروژنی جفت می‌شوند. جفت بازهای استاندارد AT و CG پایداری متفاوتی دارند. جفت باز CG پایدارتر است که به دلیل به اشتراک گذاشتن سه پیوند هیدروژنی بین دو باز است که به‌طور میانگین، ۱/۵ پیوند به ازای هر باز وجود دارد، در حالی که جفت باز AT دو پیوند هیدروژنی دارد که به‌طور میانگین یک پیوند به ازای هر باز وجود دارد. شبکه‌ی پیوند هیدروژنی ساختار چهاررشته‌ای دارای

<sup>۱</sup>Monovalent

هشت پیوند هیدروژنی بین چهار باز می‌باشد که به طور میانگین دو پیوند به ازای هر باز وجود دارد و نشان می‌دهد که ساختار چهاررشته‌ای، پایدارتر از DNA دو رشته‌ای غنی از GC است [۵-۶].

### ۳.۲.۱ جهت‌گیری چهاررشته‌ای

رشته‌های قند-فسفات که هسته‌ی تتراده‌ها را تشکیل می‌دهند، می‌توانند جهت‌گیری‌های مختلفی داشته باشند. به‌علاوه، جهت‌گیری‌های رشته از نظر هندسی به پیکربندی<sup>۱</sup> گلیکوزیدی گوانین وابسته است. هرگوانین در ساختارهای چهاررشته‌ای، یک پیکربندی آنتی<sup>۲</sup> یا سین<sup>۳</sup> را بر اساس زاویه‌های گلیکوزیدی<sup>۴</sup> ایجاد می‌کند و باعث تشکیل دو پیوند هیدروژنی  $N_1 - O_6$  و  $N_2 - N_7$  می‌شود.

براساس جهت‌گیری رشته، دو نوع چهاررشته‌ای مشخص می‌شود:

۱- چهاررشته‌ای موازی<sup>۵</sup>: دارای چهاررشته است که همه‌ی آنها جهت‌گیری یکسانی دارند. در این چهاررشته‌ای، زاویه‌های گلیکوزیدی گوانین پیکربندی آنتی دارند و همه‌ی شیارهای قند-فسفات با هم برابر است.

۲- چهاررشته‌ای موازی ناهمسو<sup>۶</sup>: دارای حداقل یک G-tract است که به صورت موازی ناهمسو با بقیه قرار دارد. چهاررشته‌ای موازی ناهمسو، هر دو پیکربندی آنتی و سین را دارد و در نتیجه جهت‌گیری ستون قند-فسفات تغییر کرده و شیارهایی با اندازه‌های متفاوت ایجاد می‌شود.

در مجموع چهار جهت‌گیری در ساختار چهاررشته‌ای وجود دارد:

۱- چهاررشته در یک جهت یکسان جهت‌یابی می‌کنند و زاویه‌های گلیکوزیدی به صورت آنتی-آنتی-آنتی-آنتی هستند.

۲- سه رشته در یک جهت و چهارمین رشته در جهت مخالف قرار می‌گیرد. زاویه‌های گلیکوزیدی به صورت آنتی-آنتی-آنتی-آنتی-سین-سین-سین هستند.

۳- دو زنجیره مجاور در یک جهت و دو زنجیره مقابل در جهت مخالف قرار می‌گیرند که زاویه‌های گلیکوزیدی آن به صورت سین-سین-آنتی-آنتی می‌باشند.

<sup>1</sup> Conformation

<sup>2</sup> Anti

<sup>3</sup> Syn

<sup>4</sup> Glycosidic angle

<sup>5</sup> Parallel

<sup>6</sup> Anti-parallel

۴- زنجیره‌های همسایه موازی ناهمسو هم می‌باشند که زاویه‌های گلیکوزیدی به صورت سین- آنتی- سین- آنتی هستند.

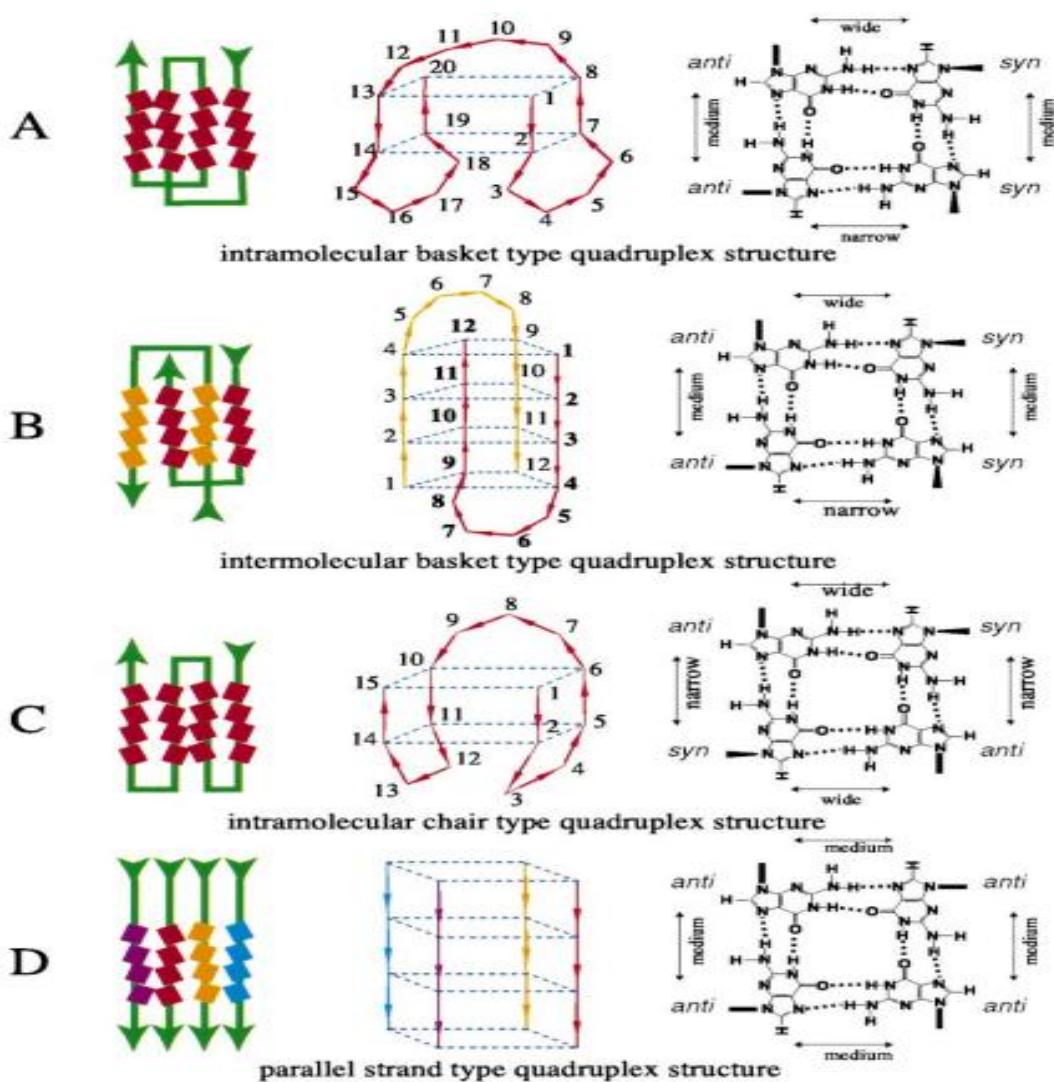
ساختارهای چهاررشته‌ای پتانسیل الکترواستاتیکی و شکل‌های متفاوتی دارند؛ برای مثال همان‌طور که در شکل ۱-۳ نشان داده شده است ساختار نوع صندلی<sup>۱</sup> به صورت سین-آنتی- سین-آنتی است که دو شیار باریک و دو شیار پهن دارد. در ساختار سبلی<sup>۲</sup> شکل گوانین‌ها در تترادهای دارای زاویه‌های گلیکوزیدی سین- سین-آنتی-آنتی می‌باشند و یک شیار باریک، یک شیار پهن و دو شیار متوسط دارند. تمام شیارهای ساختار زنجیره موازی متوسط است. پتانسیل الکترواستاتیک شیارهای باریک، قوی است و جایگاه اتصال برای کاتیون‌ها و پروتئین‌ها فراهم می‌کنند [۹-۱۰].

---

<sup>1</sup> Chair

<sup>2</sup> Bascket



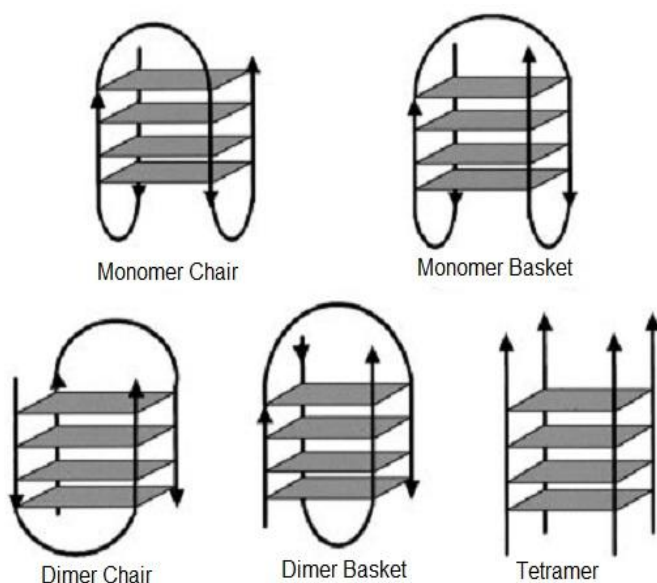


شکل ۱-۳: چهار ساختار A-ساختار چهاررشته‌ای نوع سبد درون مولکولی B-ساختار چهاررشته‌ای نوع سبد بین مولکولی C-ساختار چهاررشته‌ای نوع صندلی درون مولکولی D-ساختار چهاررشته‌ای نوع موازی [۱۰].

### ۴.۲.۱ انواع ساختاری چهاررشته‌ای

ساختارهای چهاررشته‌ای از طریق فولد شدن فقط یک زنجیره، گاه دو یا چهار زنجیره DNA غنی از گوانین تشکیل می‌شوند (شکل ۱-۴). بر این اساس  $G_4$  ها به سه دسته عمده تقسیم می‌شوند:

۱. چهارمولکولی<sup>۱</sup>: از چهار رشته‌ی جدا از هم که با یکدیگر در ارتباط هستند، تشکیل شده و هر زنجیره حداقل یک G-tract دارد.
۲. دومولکولی<sup>۲</sup>: از دو رشته تشکیل شده که هر کدام به طور معمول از دو G-tract تشکیل شده است، دسته ۱ و ۲ را G<sub>4</sub> بین مولکولی<sup>۳</sup> نیز می‌گویند.
۳. تک مولکولی<sup>۴</sup>: از یک رشته تشکیل شده و معمولاً چهار G-tract متوالی دارد، به این دسته G<sub>4</sub> درون مولکولی<sup>۵</sup> نیز گفته می‌شود [۹].



شکل ۱-۴: ساختارهای چهاررشته‌ای از طریق فولد شدن فقط یک زنجیره، گاه دو یا چهار زنجیره DNA غنی از گوانین تشکیل می‌شوند [۱۱].

### ۵.۲.۱ لوپ‌ها در G<sub>4</sub>

لوپ‌ها در چهاررشته‌ای، صفحات تتراد را به هم متصل نگه می‌دارند. همان‌طور که در شکل ۱-۵ مشاهده می‌شود لوپ‌ها به چهار دسته تقسیم می‌شوند که بر اساس اندازه و توالی از هم متفاوت اند:

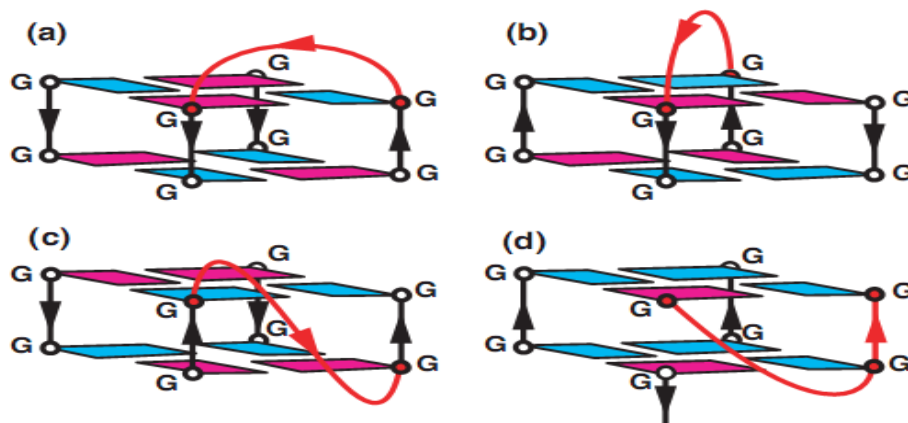
<sup>1</sup> Tetramolecular (tetrameric)  
<sup>2</sup> Bimolecular (dimeric)  
<sup>3</sup> Intermolecular  
<sup>4</sup> Monomolecular (monomeric)  
<sup>5</sup> Intramolecular

۱- لوپ Edge-wise یا لوپ کناری<sup>۱</sup>: دو زنجیره‌ی موازی غیرهمسو مجاور را به هم متصل می‌کند و معمولاً از دو باقیمانده<sup>۲</sup> یا بیشتر تشکیل شده است.

۲- لوپ مورب<sup>۳</sup>: دو زنجیره‌ی موازی ناهمسو مقابل هم را به هم متصل می‌کند که معمولاً از سه باقیمانده یا بیشتر تشکیل شده است.

۳- Double-chain-reversal یا لوپ پروانه‌ای<sup>۴</sup>: که دو زنجیره‌ی موازی مجاور را به هم متصل می‌کند که می‌تواند به بزرگی شش باقیمانده یا بیشتر و یا به کوچکی یک باقیمانده باشد.

۴- لوپ V شکل: دو گوشه‌ی یک هسته‌ی تتراد گوانین را به هم متصل می‌کند [۱۲-۱۳].



شکل ۱-۵: انواع حلقه‌ها (a) لوپ کناری، (b) لوپ مورب، (c) لوپ chain-reversal، (d) لوپ V شکل [۱۲].

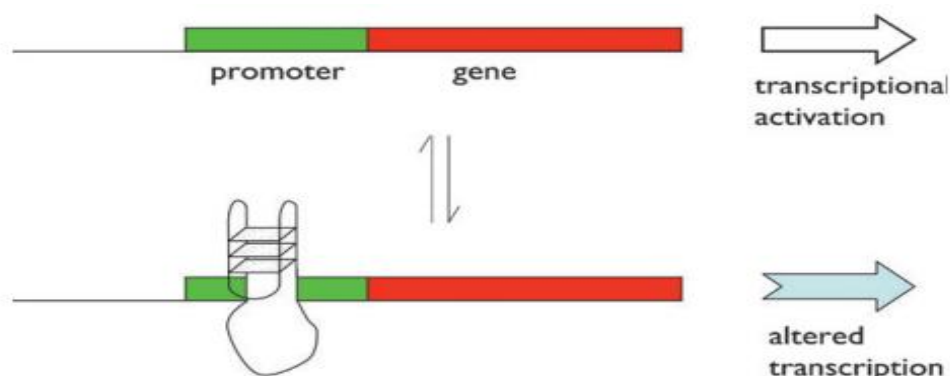
## ۶.۲.۱ حضور چهاررشته‌ای در پرموتور<sup>۵</sup>

معمولاً ۱ کیلوباز بالادست<sup>۶</sup> مکان شروع رونویسی<sup>۷</sup> پرموتور قرار دارد. تقریباً نصف تمام ژن‌های شناخته‌شده یک موتیف<sup>۸</sup> PG<sub>4</sub>، در منطقه‌ی کلیدی کنترل فعالیتشان دارند، در حالی که موتیف تنظیمی TATA box تنها در حدود ۱۰٪ از ژن‌ها وجود دارد. به طور کلی بسیار محتمل است که ژن‌هایی که

<sup>1</sup> Lateral  
<sup>2</sup> Residue  
<sup>3</sup> Diagonal  
<sup>4</sup> Propeller  
<sup>5</sup> Promoter  
<sup>6</sup> Upstream  
<sup>7</sup> Transcription  
<sup>8</sup> Motif

نیازمند سطوح بالایی از کنترل تنظیمی هستند در پروموتور آن‌ها چهاررشته‌ای وجود داشته باشند. البته پروموتورها تنها مکان‌هایی نیستند که  $G_4$  در آنها نقش مهمی دارد و توالی‌های RNA نیز این توانایی را دارند.

تشکیل چهاررشته‌ای در این ناحیه مانعی برای رونویسی توسط ممانعت از اتصال فاکتور مورد نیاز رونویسی به DNA هدف یا پیش رفتن فاکتور در طی DNA به حساب می‌آید (شکل ۱-۶) [۱۶].



شکل ۱-۶: تشکیل  $G_4$  در پروموتور می‌تواند سطح و ماهیت رونویسی ژن را تغییر دهد [۱۶].

ساختارهای  $G_4$  در پروموتور یا توالی‌های بالادست، بر تنظیم مثبت یا منفی بیان ژن‌هایی مثل انسولین، *c-Myc*، *K-ras*، *c-kit*، *VEGF*، *bcl2*، *PDF-A*، *HIF-1 $\alpha$*  و *RFP2* دلالت دارند. *bcl2* یک پروتئین آنکوژن است که پروتئین ۲۵ kD را کد می‌کند. این پروتئین، عملکرد ویژه‌ای در متوقف کردن مرگ برنامه‌ریزی شده سلول دارد، بدون این که اثری بر تکثیر سلول داشته باشد. حدود ۲۵ ژن در خانواده‌ی *bcl2* وجود دارند. ژن *bcl2*، مسئول ایجاد تعدادی از سرطان‌ها است. *c-Myc* نیز مانند *bcl2* یک آنکوژن است که یک توالی تشکیل دهنده‌ی  $G_4$  در ناحیه‌ی پروموتور آن وجود دارد. محصول پروتئینی پروتئین آنکوژن *c-Myc* ژن‌های متنوعی را کنترل می‌کند که باعث افزایش تقسیم سلول می‌شوند.